

УДК 532.526

НЕЛИНЕЙНОЕ ВЛИЯНИЕ ВНЕШНЕЙ НИЗКОЧАСТОТНОЙ АКУСТИКИ НА СОБСТВЕННЫЕ КОЛЕБАНИЯ СВЕРХЗВУКОВОГО ПОГРАНИЧНОГО СЛОЯ

С. А. Гапонов, И. И. Масленникова, В. Ю. Тюшин

Институт теоретической и прикладной механики СО РАН, 630090 Новосибирск

Представлены метод моделирования и результаты численных расчетов картины развития гидродинамических возмущений в сверхзвуковом пограничном слое на пластине под влиянием внешних акустических волн при числах Рейнольдса $Re = 220 \div 640$ и Маха $M = 2$. Решение строится методом разложения по малому параметру, учитывается вклад в решение линейных и квадратичных членов. Разработанная методика позволяет делать оценки допустимого уровня акустического поля, не влияющего на развитие собственных колебаний пограничного слоя.

Введение. Задача о нелинейном взаимодействии звуковых волн и собственных колебаний сверхзвукового пограничного слоя имеет прямое отношение к проблеме восприимчивости стационарных течений к внешним воздействиям, которая в линейной постановке связана с определением амплитуды звуковых колебаний при заданной величине воздействия. Следует подчеркнуть, что в случае параллельности основного течения внешние монохроматические волны не возбуждают собственных колебаний [1]. Впервые задача о возбуждении собственных колебаний монохроматической звуковой волной за счет непараллельности основного течения в линейной постановке рассматривалась в [2].

При нелинейной постановке задачи внешнюю волну можно рассматривать как волну накачки, в поле которой развиваются собственные колебания. Примером такого процесса служит развитие возмущений в пограничном слое модели, помещенной в рабочую часть обычной сверхзвуковой трубы. Внешнее акустическое поле создается турбулентным слоем на стенках трубы. В связи с этим возникает вопрос о принципиальной возможности проведения экспериментов по линейной теории устойчивости, так как в настоящее время отсутствуют оценки допустимого уровня внешних возмущений. В то же время на установке Т-325 Института теоретической и прикладной механики СО РАН проведен большой цикл экспериментов по устойчивости сверхзвукового пограничного слоя [3]. В части линейной неустойчивости их результаты согласуются с теорией, однако высказываются опасения о возможном влиянии акустики на развитие неустойчивых волн. Поэтому вопрос о нелинейном взаимодействии внешней акустики и собственных колебаний в пограничном слое имеет кроме общетеоретического и прикладное значение, связанное с возможностью моделирования нестационарных явлений. Заметим, что проблему о нелинейном развитии возмущений в сверхзвуковом пограничном слое начали рассматривать сравнительно недавно. Достаточно полный обзор работ содержится в [4].

В настоящей работе рассматривается взаимодействие гидродинамических волн, экспоненциально затухающих в бесконечности, и внешней акустической волны в рамках слаборелинейной теории. На рис. 1 представлены данные эксперимента [5] в сверхзвуковой

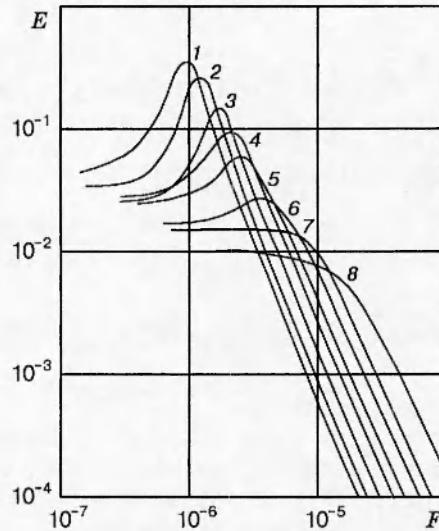


Рис. 1

аэродинамической трубе Т-325 при $M = 2$ и безразмерном частотном параметре $10^{-6} \div 10^{-5}$ (линии 1–8 — энергия естественных возмущений при следующих значениях единичного числа Рейнольдса: $Re_1 = 89 \cdot 10^6$; $70 \cdot 10^6$; $48 \cdot 10^6$; $40 \cdot 10^6$; $30 \cdot 10^6$; $19 \cdot 10^6$; $15 \cdot 10^6$; $6,3 \cdot 10^6 \text{ м}^{-1}$). Видно, что акустические колебания с наиболее высокой амплитудой располагаются в области низких частот, в то время как возмущения, ответственные за переход, имеют на порядок большие частоты. Цель данной работы — определить степень влияния слабонелинейного взаимодействия волн при таких разных частотах. Используется метод, изложенный в [4], причем отличием настоящей работы является то обстоятельство, что в качестве волны накачки выступает акустическая волна, не затухающая в бесконечности. Поэтому необходимо обосновать возможность применения амплитудных уравнений [4] и указать метод расчета коэффициентов взаимодействия. Разработанная методика позволяет делать оценки допустимого уровня акустического поля, не влияющего на развитие собственных колебаний пограничного слоя.

Постановка задачи. Исходными уравнениями для исследования развития возмущений в сверхзвуковом пограничном слое являются уравнения Навье — Стокса [4]. Безразмерные параметры течения можно представить в виде суммы

$$Q(x, y, z, t) = Q_b(x, y, z) + \varepsilon Z(x, y, z, t),$$

где Q_b — решение стационарных уравнений движения; εZ — возмущения параметров течения ($\varepsilon \ll 1$).

Рассмотрим развитие возмущений в сверхзвуковом пограничном слое на плоской пластине при больших числах Рейнольдса Re_x . В этом случае основное течение не зависит от боковой координаты и слабо зависит от x , поэтому в качестве приближения для основного потока возьмем параллельное течение $Q_b = Q_b(y)$. Эволюция возмущения описывается системой нелинейных уравнений, зависящих от основного потока. В наших исследованиях налагаются дополнительные ограничения. Для слабой нелинейности будем учитывать вклад в решение только линейных и квадратичных членов, а вязкость и теплопроводность учтем в линейных членах при старших производных, что справедливо при условии $\varepsilon \ll 1$. Введем восьмикомпонентную вектор-функцию $Z(u, u_y, v, p, T, T_y, w, w_y)$, где u, v, w — возмущения скоростей в x -, y -, z -направлениях; T, p — возмущения температуры и давления; индекс y означает производную. Систему дифференциальных уравнений запишем в операторной

форме [4] $LZ = \varepsilon M(q_{ij}, q_{kl})$, где $i, k = 1, \dots, 8$; $j, l = 1, \dots, 4$; $\mathbf{q}_i = \mathbf{q}_i(z_i, z_{ix}, z_{iz}, z_{it})$ — четырехкомпонентный вектор, индексы t, x, z обозначают соответствующие производные; L — линейный оператор

$$L = A \frac{\partial}{\partial t} + B \frac{\partial}{\partial x} + C \frac{\partial}{\partial z} + D \frac{\partial}{\partial y} + E \quad (1)$$

(A, B, C, D, E — матрицы, зависящие от параметров основного течения и коэффициентов переноса — вязкости и теплопроводности).

Решение (1) строится методом разложения по малому параметру ε и многомасштабному разложению координаты x , т. е. вводится «быстрый» масштаб $x_1 = x$ и «медленные» X_i , что возможно в силу большой разницы между скоростями изменения фазы и амплитуды. Масштаб x_1 характерен для изменения фазы, а X_i — для изменения амплитуды. С учетом сказанного выше примем

$$\frac{\partial}{\partial x} = \frac{\partial}{\partial x_1} + \varepsilon \frac{\partial}{\partial \bar{X}_1} + \varepsilon^2 \frac{\partial}{\partial \bar{X}_2} + \dots, \quad Z = Z^0 + \varepsilon Z^1 + \varepsilon^2 Z^2 + \dots$$

В этом случае Z^0 удовлетворяет уравнению $L_0 Z^0 = 0$ или в развернутом виде

$$A \frac{\partial Z^0}{\partial t} + B \frac{\partial Z^0}{\partial x_1} + C \frac{\partial Z^0}{\partial z} + D \frac{\partial Z^0}{\partial y} + E Z^0 = 0. \quad (2)$$

В силу того что основное течение не зависит от x_1 («быстрой» переменной), z и t , решение Z^0 имеет вид

$$Z^0 = \text{Real} \left(\sum_j A_j(X) Z^{0j}(X, y) \exp(i\theta_j) \right). \quad (3)$$

Здесь $\theta_j = \int \alpha_j(x) dx + \beta_j z - \omega_j t$; $A_j(X)$ — постоянные, соотношения для которых будут получены из следующего приближения; β_i — волновые числа в z -направлении; ω_i — их частоты; смысл волнового числа α_j приведен ниже.

Рассмотрим взаимодействие трех волн, удовлетворяющих условиям резонанса:

$$\beta_2 + \beta_3 = \beta_1, \quad \omega_2 + \omega_3 = \omega_1. \quad (4)$$

Подставляя (3) в (2), получим систему обыкновенных дифференциальных уравнений для каждого Z^{0j} :

$$(-i\omega_j A + i\alpha_j B + i\beta_j C + E) Z^{0j} + D \frac{dZ^{0j}}{dy} = 0. \quad (5)$$

Явный вид матриц A, B, C, D, E здесь не приводим, заметим только, что они определяются параметрами основного стационарного течения, зависящего от координаты y , чисел Маха M и Рейнольдса Re . Их выражения можно найти, например, в [6] и других работах по линейной теории устойчивости течений сжимаемого газа, уравнениями которой являются (5). Простейшие из них — уравнения Дана — Линя для сжимаемого газа или уравнение Орра — Зоммерфельда для дозвукового потока.

В отличие от случая, рассмотренного в [4], где все три волны были аналогами волн Толлмина — Шлихтинга, здесь в качестве одной из них предлагается взять волну, которая на больших расстояниях от поверхности вырождается в звуковую. Звуковая волна в силу взаимодействия с пограничным слоем представляет собой суперпозицию падающей и отраженной волн. Подробно задача о линейном взаимодействии монохроматической волны с пограничным слоем изложена в [2].

Примем, что индексы $j = 1, 2$ соответствуют волнам Толлмина — Шлихтинга, а $j = 3$ — акустической волне. Граничные условия для волн, аналогичных волнам Толлмина — Шлихтинга, имеют вид

$$Z_1^0 = Z_3^0 = Z_5^0 = Z_7^0 \quad \text{при} \quad y = 0, \infty, \quad (6)$$

что соответствует нулевым значениям возмущений скоростей (Z_1^0, Z_3^0, Z_7^0) и температуры (Z_5^0) на поверхности и в бесконечности.

Для аналога акустической волны условия (6) при $y = 0$ остаются неизменными, а при $y = \infty$ соответствующие величины определяются параметрами падающей волны и при $y \gg 1$ имеют вид

$$Z^{03} = d(z_1^{03} \exp[i\lambda(y - \delta)] + qz_2^{03} \exp[-i\lambda(y - \delta)]). \quad (7)$$

Здесь z_1^{03}, z_2^{03} — постоянные векторы для падающей и отраженной волн; q — комплексный коэффициент отражения; δ — граница пограничного слоя; d — постоянная, пропорциональная интенсивности падающей волны.

Для волн Толлмина — Шлихтинга имеем обычную задачу на собственные значения, из которой определяются α_1, α_2 , входящие в выражения для фазы θ_j . Для акустической волны при $y = 0$ условия выполняются при любом значении α_3 , за исключением случаев, когда коэффициенты отражения обращаются в бесконечность (см. [6]).

В следующем приближении получим систему уравнений

$$L_0 Z^1 = - \sum_{j=1}^3 \frac{da_j}{dX} B Z^{0j} \exp(i\theta_j) + M(z_k^{0m}, z_p^{0n*})$$

(знак «*» обозначает комплексное сопряжение). Уточним структуру компонент вектора $M = M_1 + M_2 + M_3$, получаемого из нелинейных членов. Нелинейные члены определяются суммами парных произведений ($z_q^{0k} a_k \exp(i\theta_k) + z_q^{0k*} a_k^* \exp(-i\theta_k^*)$)($z_p^{0j} a_j \exp(i\theta_j) + z_p^{0j*} a_j^* \exp(-i\theta_j^*)$). Легко видеть, что вектор M_1 , пропорциональный $\exp[i(\beta_1 z - \omega_1 t)]$, определяется произведениями $z_q^{02} z_p^{03} a_2 a_3 \exp[i(\theta_2 + \theta_3)]$, вектор M_2 — произведениями $z_q^{01} z_p^{03*} a_1 a_3^* \exp[i(\theta_1 - \theta_3^*)]$, а M_3 — произведениями $z_q^{01} z_p^{02*} a_1 a_2^* \exp[i(\theta_1 - \theta_2^*)]$. Если расстройки $\Delta\varphi_1 = \int_0^x (\alpha_2 + \alpha_3 - \alpha_1) dx_1$, $\Delta\varphi_2 = \int_0^x (\alpha_1 - \alpha_3^* - \alpha_2) dx_1$, $\Delta\varphi_3 = \int_0^x (\alpha_1 - \alpha_2^* - \alpha_3) dx_1$

малы, то правая часть уравнений (5) будет иметь резонансные составляющие по отношению к оператору L_0 при каждой тройке значений $\alpha_i, \beta_i, \omega_i$. Согласно [4] для сверхзвуковых течений фазовые скорости ω_j/α_j слабо зависят от j , следовательно, $\Delta\varphi_j$ — малые величины.

В силу вырожденности оператора L_0 ограниченное решение системы (5) возможно при условии ортогональности правой части к решениям сопряженных задач W^{0j} . Для волн Толлмина — Шлихтинга ($j = 1, 2$) их можно записать в виде

$$\bar{L}_0 W^{0j} = 0, \quad w_2^{0j} = w_4^{0j} = w_6^{0j} = w_8^{0j} = 0 \quad \text{при} \quad y = 0, \infty. \quad (8)$$

Сопряженная задача для акустической волны имеет вид

$$\bar{L}_0 W^{03} = 0, \quad w_2^{03} = w_4^{03} = w_6^{03} = w_8^{03} = 0 \quad \text{при} \quad y = 0, \quad (9)$$

$$W^{03} = w_1^{03} \exp[i\lambda(y - \delta)] + \bar{q} w_2^{03} \exp[-i\lambda(y - \delta)] \quad \text{при} \quad y \gg 1,$$

причем $\bar{q} = -q$. С учетом прямой и сопряженной задач амплитудные уравнения можно записать следующим образом:

$$\frac{da_1}{dX} = k_1 a_2 a_3 \exp(i\Delta\varphi_1), \quad \frac{da_2}{dX} = k_2 a_1 a_3^* \exp(i\Delta\varphi_2), \quad \frac{da_3}{dX} = k_3 a_1 a_2^* \exp(i\Delta\varphi_3), \quad (10)$$

$$k_j = \int_0^{\infty} (M_k W^{0k}) dy / \int_0^{\infty} (Bz^{0k} W^{0k}) dy, \quad j = 1, 2.$$

Здесь a_j — амплитуды; k_j — коэффициенты связи; $\Delta\varphi_1 = \int_0^x (\alpha_2 + \alpha_3 - \alpha_1) dx_1$, $\Delta\varphi_2 =$

$$\int_0^x (\alpha_1 - \alpha_3^* - \alpha_2) dx_1, \quad \Delta\varphi_3 = \int_0^x (\alpha_1 - \alpha_2^* - \alpha_3) dx_1$$
 — расстройки по волновым числам в

x -направлении α_j ; W^{0j} — решение сопряженной к (5), (6) задачи; вектор M_j определяется нелинейными членами; B — матрица, зависящая от параметров основного течения и коэффициентов переноса — вязкости и теплопроводности (см. [6]). При параметрическом развитии гидродинамических волн значение коэффициента k_3 несущественно, и в данной работе он не рассчитывался.

Таким образом, процедура получения уравнений (10) состоит в расчете амплитуд трех волн, удовлетворяющих условиям резонанса, на основе обыкновенных дифференциальных уравнений (5) с граничными условиями (6), (7) и функций сопряженных задач (8), (9).

При параметрическом развитии волн Толлмина — Шлихтинга в поле акустической волны, когда $|a_1| \ll |a_3|$ и $|a_2| \ll |a_3|$, можно считать, что $a_3 \approx \text{const}$, и возмущение, связанное с акустической волной, нарастает по линейному закону пропорционально

$$\exp\left(-\int_0^x \text{Im}(\alpha_1) dx\right).$$
 Тогда усиление амплитуд гидродинамических волн и соотношение

между ними на больших расстояниях x можно оценить, используя (3) и принимая $k_1, k_2, \Delta\varphi_1, \Delta\varphi_2$ медленно изменяющимися по X : $|a_2/a_1| = |\sqrt{k_2/k_1}|$, $(1/a_1)(da_1/dX) = \sqrt{k_0}|a_3|$, $(1/a_2)(da_2/dX) = \sqrt{k_0}|a_3|$, $k_0 = k_2 k_1$. Оценки показывают, что вначале происходит наиболее интенсивное усиление волн, для которых реальная часть нелинейного инкремента нарастания гидродинамических волн $\sigma_r = \text{Real}(\sqrt{k_0}) \cdot |a_3|$ наибольшая.

Рассмотрим зависимость величины σ_r от наклона акустической волны. С помощью метода [4] можно показать, что k_0 — четная функция относительно β_3 . Это означает, что при $\beta_3 = 0$ функция $k_0(\beta_3)$ принимает экстремальное значение (минимум либо максимум). Как показано в [6], для акустической волны, направленной вдоль потока, и для волн Толлмина — Шлихтинга выполняются условия

$$c_{1,2} > 1 - 1/(M \cos \psi_{1,2}), \quad c_3 < 1 - 1/M,$$

где c_k — фазовые скорости; $\psi_i = \arctg(\beta_i/\alpha_i)$ — угол между волной и направлением основного потока. Это накладывает значительные ограничения на область существования резонанса.

Результаты расчетов и их обсуждение. Численно рассчитаны коэффициенты нелинейного взаимодействия для резонансных троек волн обсуждаемого типа в сверхзвуковом пограничном слое на плоской пластине. Стационарное течение $Q_b(y)$ автомодельно, температура торможения принята постоянной и равной 310 К, что соответствует режиму работы аэродинамической трубы, число Прандтля $Pr = 0,72$, отношение теплоемкостей $\gamma = 1,4$. Для каждой волновой моды безразмерный частотный параметр $F = 2\pi f \nu_e / U_e^2 = \omega / \text{Re}$ ($\text{Re} = \sqrt{\text{Re}_x}$) оставался постоянным (f — частота возмущения; ν_e, U_e — вязкость и скорость набегающего потока на границе пограничного слоя соответственно). Обезразмеривание производилось на толщину $\delta = \sqrt{\nu_e x / U_e}$.

Уравнения решались методом Рунге — Кутты четвертого порядка точности, поиск собственных значений проводился методом Ньютона, для получения линейно независи-

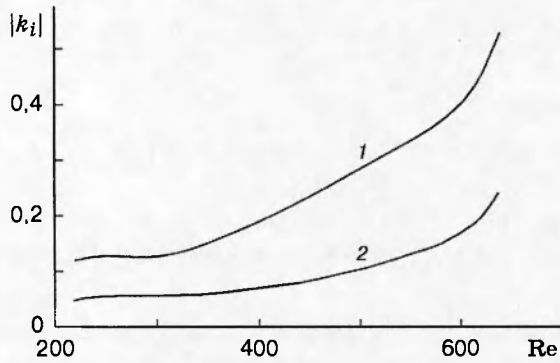


Рис. 2

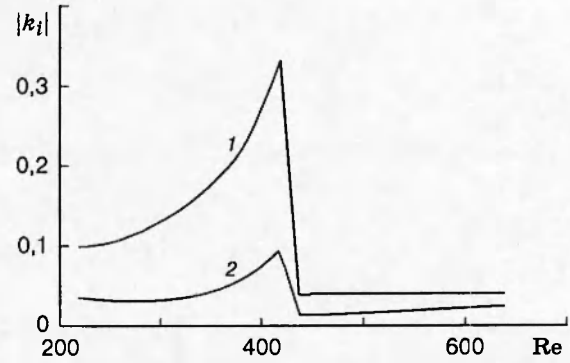


Рис. 3

мых решений использовалась процедура ортогонализации [6]. Собственные функции линейной задачи для волн Толлмина — Шлихтинга нормированы так, что $\sup_{0 \leq y \leq \infty} |Z_3^j(y)| = 1$, $j = 1, 2$. Функции линейной задачи для акустической волны нормированы на единицу продольного возмущения скорости падающей волны. Параметры звуковой волны и волн Толлмина — Шлихтинга выбирались с учетом экспериментальных исследований в аэродинамической трубе Т-325 [7].

Расчеты проводились при $M = 2$, $Re = 220 \div 640$, частотах основной волны $F_1 = (0,25 \div 0,90) \cdot 10^{-4}$, акустической $F_3 = (0,447 \div 0,950) \cdot 10^{-5}$ и углах ориентации основной волны относительно потока $\psi_1 = 30 \div 60^\circ$. Волновые числа в z -направлении удовлетворяли условию (4): $\beta_1 = \beta_2$, $\beta_3 = 0$. Фазовая скорость акустической волны синхронизировалась с фазовой скоростью второй волны Толлмина — Шлихтинга, при этом расстройки $\Delta\alpha$ везде оставались малыми. В результате расчетов определено поле значений коэффициентов связи, волновых чисел, скоростей и коэффициентов отражения для акустической волны в зависимости от числа Рейнольдса для различных частот и углов ориентации триплета относительно потока при $M = 2$ на плоской пластине.

Из расчетов следует, что при частотах основной волны $F_1 = 0,35 \cdot 10^{-4}$ и акустической $F_3 = 0,047 \cdot 10^{-4}$ существует диапазон углов ориентации триплета (около 50°), в котором степень нарастания коэффициентов связи максимальна. На рис. 2 представлены зависимости 1, 2 модулей k_i ($i = 1, 2$) от Re для угла ориентации триплета $\psi_1 = 50^\circ$ при указанных частотах волн. Для других значений F_1 , F_3 максимумы степени нарастания коэффициентов связи получены при таком же угле ориентации триплета. На рис. 2 видно, что коэффициент связи основной (первой) гидродинамической волны больше коэффициента связи второй волны примерно в 2 раза. Такое соотношение наблюдается и при других параметрах триплета данной конфигурации.

Расчеты для различных F_1 при фиксированной частоте акустической волны $F_3 = 0,047 \cdot 10^{-4}$ и угле ориентации триплета $\psi_1 = 50^\circ$ показали, что при частоте $F_1 = 0,5 \cdot 10^{-4}$ $k_{1,2}$ максимальны. Результаты расчета при данных параметрах приведены на рис. 3 (обозначения те же, что на рис. 2). Из расчета следует, что фазовые скорости волн Толлмина — Шлихтинга увеличиваются с ростом Re , поэтому любой триплет, синхронизированный по фазовым скоростям, разрушается при достаточно больших Re . Этот момент виден на графике как резкое уменьшение значений коэффициентов связи.

Таким образом, максимальное влияние акустики испытывают гидродинамические волны, имеющие наклон к направлению потока около 50° и безразмерный частотный параметр, близкий к $0,5 \cdot 10^{-4}$.

Как уже отмечалось, все расчеты проводились при $\beta_3 = 0$. Однако, как показано в работе [8], максимальное линейное влияние акустики наблюдается при ненулевых β_3 . Данный вопрос остается открытым, и, следовательно, дальнейшие расчеты необходимо проводить для $\beta_3 \neq 0$.

В заключение отметим, что коэффициенты связи в нашем случае на порядок меньше, чем в случае субгармонического резонанса гидродинамических волн (см. [4]). Этот факт связан с большой разницей частот внешнего поля и волн Толлмина — Шлихтинга. В силу того что слабонелинейное влияние пропорционально амплитуде внешней акустической волны, для низкотурбулентных аэродинамических труб (например, трубы Т-325 Института теоретической и прикладной механики СО РАН) оно пренебрежимо мало. С увеличением числа Маха гидродинамические и акустические частоты должны сближаться. Кроме того, уровни внешнего акустического и наведенных колебаний внутри слоя возрастают с увеличением числа Маха [9]. Поэтому заключение о слабом влиянии акустики на степень усиления волн Толлмина — Шлихтинга не может автоматически распространяться на случаи больших чисел Маха.

ЛИТЕРАТУРА

1. **Гапонов С. А.** On the mathematical simulation of disturbance development in the compressible flows near walls // *Thermophys. and Aeromech.* 1994. V. 1, N 1. P. 75–88.
2. **Гапонов С. А.** Возбуждение волн Толлмина — Шлихтинга звуком в сверхзвуковом пограничном слое // *Изв. АН СССР. Механика жидкости и газа.* 1983. № 3. С. 59–64.
3. **Kosinov A. D., Semionov N. V., Shevelkov S. G., Zinin O. I.** Experiments on the nonlinear instability of supersonic boundary layers // *Nonlinear instability of nonparallel flows* / Ed. by D. T. Valentine, S. P. Lin, W. R. C. Philips. Berlin etc.: Springer-Verlag, 1994. P. 196–205.
4. **Гапонов С. А., Масленникова И. И.** Субгармоническая неустойчивость сверхзвукового пограничного слоя // *Теплофизика и аэромеханика.* 1997. Т. 4, № 1. С. 1–10.
5. **Lebiga V. A., Maslov A. A., Pridanov V. G.** Experimental investigation of the stability of supersonic boundary layer of a flat insulated plate // *Arch. Mech.* 1979. V. 31, N 3. P. 397–405.
6. **Гапонов С. А., Маслов А. А.** Развитие возмущений в сжимаемых потоках. Новосибирск: Наука. Сиб отд-ние, 1980.
7. **Kosinov A. D., Maslov A. A., Shevelkov S. G.** Experiments on the stability of supersonic laminar-boundary layers // *J. Fluid Mech.* 1990. V. 219. P. 621–623.
8. **Гапонов С. А., Smorodsky B. V.** Supersonic boundary layer interaction with streamwise acoustics // *Proc. Intern. conf. method aerophys. research. Novosibirsk,* 1996. Pt 2. P. 70–75.
9. **Лебига В. А.** Характеристики пульсаций в рабочей части сверхзвуковой аэродинамической трубы // *Неустойчивость до- и сверхзвуковых течений.* Новосибирск: Ин-т теорет. и прикл. механики СО АН СССР, 1982.

*Поступила в редакцию 18/VIII 1997 г.,
в окончательном варианте — 29/XII 1997 г.*